

เอกสารอ้างอิง

ประเภทหนังสือ

1. นวัชัย อัตถวินูลย์กุล, 2527, เครื่องกลไฟฟ้า 2, สถาบันเทคโนโลยีราชมงคล, หน้า 1-25
2. พัฒนพงษ์ สินธุ์พิพูรย์ และ คณะผู้จัดทำ, 2543, เครื่องกลไฟฟ้า 1, สำนักงานพัฒนา
เทคนิคศึกษาสถาบันเทคโนโลยีพระจอมเกล้าพระนครเหนือ, หน้า 4, 17-21
3. ศุภชัย สุรินทร์วงศ์, 2543, วงจรแม่เหล็กและหม้อแปลงไฟฟ้าทั่วไป, หน้า 1-3, 16-17
4. เนินชัย ชิสาระ, 2550, กังหันลมผลิตไฟฟ้าขนาดเล็ก, ปริญญานิพนธ์วิศวกรรมศาสตรบัณฑิต
สาขาวิศวกรรมไฟฟ้าคณวิศวกรรมศาสตร์ มหาวิทยาลัยเทคโนโลยีราชมงคลกรุงเทพ
5. สมยศ สนัตมดาดีย์, การออกแบบตัวเก็บประจุสำหรับน้ำสกระแตกต่างของอุปกรณ์สร้างแรงดัน
กลั่นคืนแบบพลังวัตต์, วิทยานิพนธ์วิศวกรรมศาสตรบัณฑิต สาขาวิศวกรรมไฟฟ้าคณ
วิศวกรรมศาสตร์ มหาลัยเกษตรศาสตร์
6. มนตรี เงาเดช, การชดเชยแรงดันตกชั่วขณะของระบบขับแบบปรับความเร็วได้โดยใช้สกอน
เรอร์เตอร์, วิศวกรรมศาสตรมหาบัณฑิตวิศวกรรมไฟฟ้า คณะวิศวกรรมศาสตร์
มหาวิทยาลัยเชียงใหม่
7. สุวัฒน์ ดัน, 2537, เทคนิคการและออกแบบสวิตช์เพาเวอร์ชัพพลาย, พิมพ์ครั้งที่ 1,
บริษัท เอนเทล ไทย จำกัด, กรุงเทพฯ, หน้า 133-135.
8. สมบูรณ์ มาลานนท์, สมคิด วิริยะสิทธิชัย, “แหล่งจ่ายไฟแบบสวิตชิ่ง”, พิมพ์ครั้งที่ 1,
หจก. สำนักพิมพ์พิสิกส์เซ็นเตอร์, กรุงเทพฯ, 51-64.

ประเภทสื่ออิเล็กทรอนิกส์

1. <http://www.are101.org>
2. <http://www.windstrempower.com>
3. <http://www.freepatentsonline.com>
4. <http://www.globalsources.com>
5. <http://www.power-technology.com>
6. <http://tdc.thailis.or.th/tdc/>
7. <http://www.thaigoodview.com/library/>
8. <http://www.cpe.ku.ac.th>

แบบจำลองกังหันลมผลิตไฟฟ้าที่ใช้เครื่องกำเนิดไฟฟ้าแบบแม่เหล็กถาวร

Modeling of Wind Turbine Driving Permanent Magnet Synchronous Generator

วสันต์ เพชรพิมูล¹ กฤทญช์ชนาด ภูมิเกตติพิชญ์² วิรชัย ไกรนันทร์³ ประบูฐ อุษหาเล็กช์² และวราภรณ์ ศรีสงเคราะห์³

¹ภาควิชาวิศวกรรมไฟฟ้า คณะวิศวกรรมศาสตร์ มหาวิทยาลัยเทคโนโลยีราชมงคลล้านนา

ถนนรังสิต-นครนายก ต.รังสิต อ.ธัญบุรี จ.ปทุมธานี 12110 โทรศัพท์ 0-2549-3571

²ภาควิชาวิศวกรรมเครื่องกล คณะวิศวกรรมศาสตร์ มหาวิทยาลัยเทคโนโลยีราชมงคลล้านนา

ถนนรังสิต-นครนายก ต.รังสิต อ.ธัญบุรี จ.ปทุมธานี 12110 โทรศัพท์ 0-2549-3571

³สาขาวิชาวิศวกรรมไฟฟ้า คณะวิศวกรรมศาสตร์และสถาปัตยกรรมศาสตร์ มหาวิทยาลัยเทคโนโลยีราชมงคลล้านนา

อ.เมือง จ.นนทบุรี 11000

บทคัดย่อ

บทความนี้นำเสนอแบบจำลองกังหันลมผลิตไฟฟ้าที่ใช้เครื่องกำเนิดไฟฟ้าแบบแม่เหล็กถาวรขนาด 1 kW โดยมีการออกแบบวงจรรวมทั้งหมด 3 ส่วน คือวงจรเรียงกระแสสามเฟส วงจรทบระดับ และวงจรอินเวอร์เตอร์สามเฟสต่อเข้าระบบ การรักษาระดับแรงดันไฟฟ้าเรื่องโคงที่ ที่ใช้วงจรทบระดับในการรักษาระดับแรงดันไฟฟ้ากระแสตรงให้คงที่ ที่ใช้ด้วยคุณภาพเพิ่ม เทื่อเพิ่มสมรรถนะของวงจรอินเวอร์เตอร์สามเฟสให้มีการควบคุมแรงดันไฟฟ้าด้านออก ที่มีเสถียรภาพที่ดี ในงานวิจัยนี้ได้ออกแบบจำลองการทำงานโดยใช้โปรแกรม MATLAB - SIMULINK เพื่อนำไปสู่การพัฒนาระบบฮาร์ดแวร์ต่อไป

คำสำคัญ: กังหันลมผลิตไฟฟ้า, แม่เหล็กถาวร, วงจรเรียงกระแส, วงจรทบระดับ และวงจรอินเวอร์เตอร์

Abstract

This paper presents modeling of wind turbine driving 1 kW Permanent magnet generator. The system design consists of 3 parts, namely rectifier circuit, boost converter and inverter. To control the DC voltage, boost converter is carried out the constant at the rating DC voltage. Inverter is AC-to-DC converter for generating the line voltage. Synchronous rectifier frame and PI control are used to control the wind turbine system by using MATLAB with Simulink. The results show that the control circuit and control the DC voltage with boost converter and AC voltage with inverter circuit. This development is the first of research. Next step will build up the hardware for observing the performance of the system.

Keywords: Wind turbine, Permanent Magnet, Rectifier circuit, Boost converter, Inverter circuit

1. บทนำ

การออกแบบเครื่องกำเนิดไฟฟ้ากังหันลมปัจจุบันนี้ จำเป็นต้องพิจารณาความเร็วลมของแต่ละพื้นที่เป็นสำคัญ เพื่อให้วิศวกรรมการณ์นำไปใช้ในการออกแบบได้อย่างถูกต้อง สำหรับการเพิ่มกำลังด้านออกของเครื่องกำเนิดไฟฟ้า ลดเสียงรบกวนและองค์ประกอบอื่นๆ

ที่เกิดขึ้นจากกังหันลม แต่การออกแบบที่สับซ้อนจะทำเครื่องกำเนิดไฟฟ้ากังหันลมมีราคาแพงซึ่งเป็นสิ่งที่ไม่ต้องการ บทความนี้จึงทำการวิเคราะห์การแปลงแรงดันของเครื่องกำเนิดไฟฟ้าแบบแม่เหล็กถาวรสำหรับการผลิตไฟฟ้าด้วยกังหันลมที่มีวงจรเรียงกระแส ประโยชน์ของการใช้เครื่องกำเนิดไฟฟ้าแบบแม่เหล็กถาวรและวงจรเรียงกระแสเพื่อประสิทธิภาพสูงและราคาถูก โครงการวิจัยนี้จะมุ่งไปที่ เครื่องกำเนิดไฟฟ้าแบบแม่เหล็กถาวรขนาด 1 kW, 48 V, 400 rpm ซึ่ง เป็นความสามารถที่จะใช้สำหรับพื้นที่ๆ มีความเร็วลมเฉลี่ยประมาณ 5-7 m/s

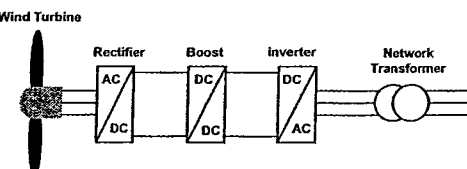
เครื่องกำเนิดไฟฟ้าแบบแม่เหล็กถาวรได้มีการพัฒนาอย่างต่อเนื่อง ซึ่งระบบที่พิจารณาในโครงการวิจัยนี้ โครงสร้างหลักฯ ประกอบด้วย เครื่องกำเนิดไฟฟ้า วงจรเรียงกระแส วงจรทบระดับแรงดัน และวงจรอินเวอร์เตอร์ ดังแสดงในรูปที่ 1 ประโยชน์ของการใช้เครื่องกำเนิดไฟฟ้าแบบแม่เหล็กถาวรที่ต้องกับวงจรเรียงกระแสดังที่กล่าวมานี้แล้ว นั้น เพราะการสูญเสียต่ำและราคาถูกเมื่อเปรียบเทียบกับระบบที่ใช้เครื่องกำเนิดไฟฟ้าชนิดอื่น การใช้วงจรเรียงกระแสสนับท์ท่าให้กระแสอิมเพอร์มิต่าต่ำกว่าปกติทำให้เกิดไฟฟ้าแบบเหนี่ยวแน่น อาจต้องการกระแสสูงเพื่อไปสร้างกระแสสนับท์ให้เหลือไฟฟ้า

องค์ประกอบของบทความนี้ประกอบด้วย ส่วนแรกจะประกอบด้วย ลักษณะของกังหันลมผลิตไฟฟ้าที่ใช้เครื่องกำเนิดไฟฟ้าที่ใช้เครื่องกำเนิดไฟฟ้าแบบแม่เหล็กถาวรค่อนมาส่วนประกอบต่างๆ พร้อมทั้งอธิบายแบบจำลองเชิงสมการแกนหมุน (Rotating reference frame) และแกนนิ่ง (Stationary reference frame) ส่วนที่สามจะกล่าวถึงการออกแบบ ผลการทดสอบ และสรุปท้ายจะกล่าวถึงบทสรุป และข้อเสนอแนะ

2. ส่วนประกอบของระบบ (System Components)

การจำลองการทำงานของระบบจะใช้โปรแกรม MATLAB/Simulink [3] และจากปัจจุบันได้ออกแบบแกรมในรูปที่ 1 ระบบกังหันลมผลิตไฟฟ้ามีองค์ประกอบหลักๆ ประกอบด้วย เครื่องกำเนิดไฟฟ้าแบบแม่เหล็กถาวร วงจรเรียงกระแสสามเฟส วงจรทดระดับ และวงจรอินเวอร์เตอร์ ซึ่งสามารถอธิบายรายละเอียดดังต่อไปนี้

2.1 กังหันลมผลิตไฟฟ้าที่ใช้เครื่องกำเนิดไฟฟ้าแบบแม่เหล็กถาวร



รูปที่ 1 ระบบกังหันลมผลิตไฟฟ้าที่นำเสนอด้วย

เมื่อพิจารณาคำลั่งและแรงบิดเชิงกลที่สร้างจากกังหันลมดังแสดงในสมการที่ (1) และ (2) [1]

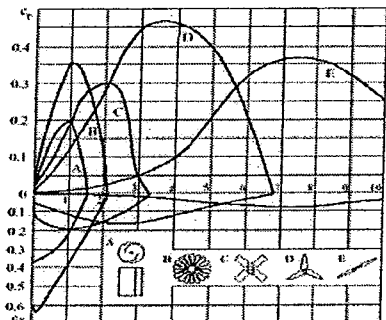
$$P_m = \frac{1}{2} C_p r p R^2 u^3 \quad (1)$$

$$T_m = \frac{1}{2} C_T r p R^3 u^2 \quad (2)$$

เมื่อ P_m , T_m คือ คำลั่งและแรงบิดเชิงกลที่ถูกสร้างจากกังหันลมตามล้ำดับ, ρ คือ ความหนาแน่นของลม (kg/m^3), R คือ รัศมีของใบพัด (m), n คือ ความเร็วของลม และ C_p , C_T คือ สมประสิทธิ์ของกังหันลมด้วยความเร็วของเพลา ω_m ถูกปรับเพื่อให้ได้ค่า C_p ที่เหมาะสมที่สุด นั่นหมายถึง ω_m และ ความเร็วลมจะลดลงรวมเพื่อให้ได้ค่าดับเบิลเพรเดิร์ฟ และสามารถแสดงความสัมพันธ์ระหว่าง C_p และ ω_m ให้สำหรับด้าบเบรเดิร์ฟเท่านั้นคือ $C_p = C_{p_0} / (1 + \lambda \omega_m^2)$ ด้วยความเร็วลม n อัตราส่วนความถูกปล่อยสามารถแสดงให้ดังสมการที่ (3)

$$\lambda = \frac{R \omega_m}{u} \quad (3)$$

เมื่อ ω_m คือ ความเร็วเชิงมุมของเพลา กังหันลม (rad/sec) ความสัมพันธ์ระหว่าง C_p , C_T และ λ สำหรับแต่ละชนิดของกังหันลมแสดงได้ในรูปที่ 2 [2] จากสมการที่ (3) ค่า C_p และ C_T เป็นพื้นที่ของ λ ของ $C_p = C_{p_0} / \lambda$ จากรูปที่ 2 เราจะเลือกชนิดของกังหันที่ให้คำลั่งของกังหันสูงสุด ดังนั้นในการจำลองการทำงานที่ความเร็วต่างกัน ความเร็วเชิงมุมควรจะถูกควบคุมให้ทำงานที่ค่า λ ใกล้เคียง 3.8 (จากกราฟ กังหันลมชนิด D ถูกเลือก) โดยการควบคุมคำลั่งไฟฟ้าคงที่ และคำลั่งไฟฟ้าเปลี่ยนที่จะขึ้นไปที่โหลด การควบคุมอัตราส่วนความเวลาของวงจรทดระดับ และด้วยการหมุนเดชั่น ของอินเวอร์เตอร์สามารถควบคุมคำลั่งไฟฟ้าที่โหลดได้ซึ่งอธิบายในขั้นตอนต่อไป



รูปที่ 2 ความสัมพันธ์ของระหว่าง C_p , C_T และ λ ของกังหันลมดังๆ

2.2 แบบจำลองเครื่องกำเนิดไฟฟ้าแบบแม่เหล็กถาวร (PMG)

สมการทางไฟฟ้าของเครื่องกำเนิดไฟฟ้าแบบแม่เหล็กถาวรที่อ้างอิงแกนนิ่งสามารถแสดงได้ดังสมการที่ (4) และ (5)

$$v_{qs} = -R_s i_{qs} + \omega_m \psi_{ds} + \frac{d\psi_{qs}}{dt} \quad (4)$$

$$v_{ds} = -R_s i_{ds} - \omega_m \psi_{qs} + \frac{d\psi_{ds}}{dt} \quad (5)$$

เมื่อ v คือ แรงดันไฟฟ้าด้านนอก, i คือกระแสไฟฟ้าด้านนอก, ψ คือ เส้นแรงแม่เหล็กคล้อง, R คือความต้านทาน, ω_m คือ ความเร็วเชิงมุมของโรเตอร์ ตัวอักษร d และ q คือองค์ประกอบของแม่เหล็กถาวรแกนนิ่งตามล้ำดับ [4] และ s คือสเกเตอร์ ค่าทั้งหมดจะแสดงในหน่วยต่อยูนิต (per unit) ความสัมพันธ์ระหว่างค่าจังหวัดค่าด้วยอนุนิตสามารถหาได้ใน [5] เส้นแรงแม่เหล็กคล้อง สามารถหาได้จาก

$$\psi_{qs} = (L_{qm} + L_{os}) i_{qs} \quad (6)$$

$$\psi_{ds} = (L_{dm} + L_{os}) i_{ds} + \psi_f \quad (7)$$

เมื่อ ψ_f คือ เส้นแรงแม่เหล็กของแม่เหล็กถาวรเพื่อที่จะวิเคราะห์เครื่องกำเนิดไฟฟ้าอย่างง่าย ยกเว้นช่วงครุฑะเลข [1] ดังนั้น สมการที่ (6) และ (7) สามารถนำไปแทนลงในสมการที่ (4) และ (5) ได้ดังนี้

$$v_{qs} = -R_s i_{qs} + \omega_m (L_{dm} + L_{os}) i_{ds} + \omega_m \psi_f \quad (8)$$

$$v_{ds} = -R_s i_{ds} - \omega_m (L_{qm} + L_{os}) i_{qs} \quad (9)$$

เมื่อ L_{qm} , L_{dm} คือค่าความเหนี่ยวนะร่วมในแกน q และ d ตามล้ำดับ และ L_{os} คือ ความเหนี่ยวนำร้าวไหลในสเกเตอร์ แรงบิดในช่องอากาศ T_{ag} สามารถเขียนเป็นสมการได้ดังนี้

$$T_{ag} = \psi_{ds} i_{qs} - \psi_{qs} i_{ds} = \psi_f i_{qs} + (L_{dm} - L_{qm}) i_{qs} i_{ds} \quad (10)$$

คำลั่งไฟฟ้าคงที่ และคำลั่งไฟฟ้าเปลี่ยนของเครื่องกำเนิดไฟฟ้าแบบแม่เหล็กถาวร สามารถแสดงได้ดังนี้

$$P_s = v_{ds} i_{ds} + v_{qs} i_{qs} \quad (11)$$

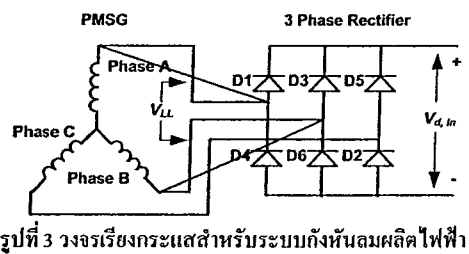
$$Q_s = v_{qs} i_{ds} - v_{ds} i_{qs} \quad (12)$$

2.3 วงจรเรียงกระแสสามเฟส (Three-phase diode rectifier)

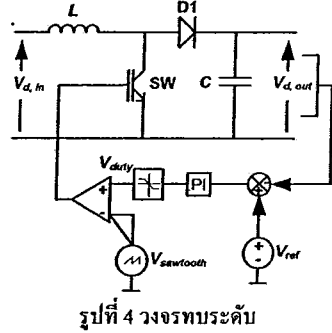
วงจรเรียงกระแสโดยใช้ไดโอดเป็นวงจรอย่างง่าย ราคาถูก และใช้กันอย่างกว้างขวางในอุตสาหกรรมอิเล็กทรอนิกส์กำลัง ข้อเสียของไดโอดไม่สามารถให้กำลังไฟฟ้าให้ดีส่องทางได้ แรงดันด้านออกของวงจรเรียงกระแสสามเฟสสามารถแสดงได้ดังสมการที่ (13) โดยจะเลขณ์อย่าง overlap กัน

$$V_{d,in} = \frac{3\sqrt{2}V_{LL}}{\pi} \quad (13)$$

เมื่อ $V_{d,in}$ คือ แรงดันด้านออกของวงจรเรียงกระแส หรือ แรงดันด้านเข้าของวงจรบระดับ V_{LL} คือ แรงดันสามด้านออกของเครื่องกำเนิดไฟฟ้าแบบแม่เหล็ก固定



รูปที่ 3 วงจรเรียงกระแสสามเฟสระบบกังหันลมผลิตไฟฟ้า



รูปที่ 4 วงจรบระดับ

2.4 วงจรบระดับ (Boost Converter)

รูปที่ 4 แสดงวงจรบระดับแรงดันและการควบคุม ซึ่งวงจรนี้ แรงดันด้านออกปกติจะมากกว่าแรงดันด้านเข้าเสมอ วงจรบระดับจะควบคุมแรงดันด้านออกโดยใช้การควบคุมความเวลาการสวิตช์เมื่อแรงดันด้านเข้าเปลี่ยนแปลง ความสัมพันธ์ระหว่างแรงดันด้านเข้าและแรงดันด้านออก และกระแสของวงจรบระดับสามารถแสดงได้ดังสมการดังต่อไปนี้

$$\frac{V_{d,out}}{V_{d,in}} = \frac{I}{I-D} \quad (14)$$

เมื่อ $V_{d,out}$ คือ แรงดันด้านออกของวงจรบระดับ D คือ อัตราส่วนความเวลา $I_{d,in}, I_{d,out}$ คือ กระแสด้านเข้าและด้านออกของวงจรบระดับตามลำดับ อัตราส่วนความเวลาที่ต้องการสำหรับเงื่อนไขการทำงานกระแสต่อเนื่อง (Continuous Mode) สามารถแสดงได้ดังสมการที่ (15)

$$D = 1 - \left(\frac{V_{d,in}}{V_{d,out}} \right) \quad (15)$$

แรงดันด้านออกของวงจรบระดับในเทอมของแรงดันด้านเข้าและอัตราส่วนความเวลาแสดงได้ในสมการที่ (16)

$$V_{d,out} = \frac{V_{d,in}}{(1-D)} \quad (16)$$

รูปคลื่นในสภาวะคงด้วยของแรงดันและกระแสในตัวหนี่งขาในໂ Holden ที่ทำงานกระแสต่อเนื่อง [$I_L(t) > 0$] ค่าระลอกของแรงดันด้านออก $\Delta V_{d,out}$ ในໂ Holden กระแสต่อเนื่องสามารถแสดงได้ดังสมการดังไปนี้

$$\Delta V_{d,out} = \frac{I_{d,out}D}{Cf_{sb}} \quad (17)$$

2.5 วงจรอินเวอร์เตอร์

วงจรอินเวอร์เตอร์ที่มีการควบคุมการสวิตช์แบบปรับความกว้างของพัลส์ถูกค้นพบครั้งแรกในปี 1964 [7] การควบคุมแบบนี้จะปรับเวลาผลุกไฟได้เงื่อนไขความถี่การขับนำสวิตช์ (f) และอัตราส่วนความถี่ของสัญญาณคำสั่ง และอัตราส่วนแรงดันด้านเข้าและด้านออกของครัวเรียกว่าดัชนีการอุดล Dünen (m_s) สามารถแสดงได้ดังสมการที่ (18)

$$m_s = \frac{\hat{V}_{control}}{\hat{V}_{tri}} = \frac{\hat{V}_{LLC}}{V_{d,out}} \quad (18)$$

เมื่อ $\hat{V}_{control}$ คือ ค่ายอดของสัญญาณควบคุม \hat{V}_{tri} คือ ค่ายอดของสัญญาณสามเหลี่ยม อัตราส่วนของดัชนีความถี่ m_s แสดงได้ดังนี้

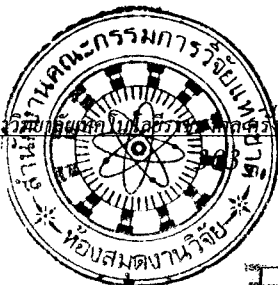
$$m_s = \frac{f_s}{f_i} \quad (19)$$

เมื่อ f_s คือ ความถี่การสวิตช์ของอินเวอร์เตอร์ f_i คือ ความถี่หลักนูน การควบคุมแรงดันด้านออกจะพยายามลดส่วนของแรงดันติดเพียงจากแรงดันคำสั่ง ค่าความติดเพียงจะเพิ่มขึ้นเมื่อค่า m_s อยู่ในย่าน over-modulation ($m_s > 1$) ในย่านเชิงเส้น ($m_s < 1$) ส่วนประกอบความตึงหลักนูนของแรงดันด้านออกจะเปลี่ยนแปลงเป็นเชิงเส้นตาม m_s ดังแสดงในสมการที่ (18) แรงดันด้านออกที่ความตึงหลักนูนสามารถแสดงได้ดังนี้

$$V_{LLC} = \frac{\sqrt{3}}{2\sqrt{2}} (m_s V_{d,out}) \quad (20)$$

แทนค่าสมการที่ (16) ลงในสมการที่ (20) จะได้

$$V_{LLC} = m_s \left[\frac{\sqrt{3}V_{d,in}}{2\sqrt{2}(1-D)} \right] \quad (21)$$



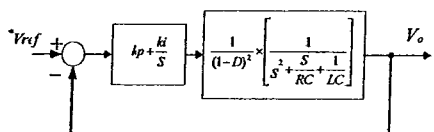
3. การออกแบบ

การออกแบบค่อนแคร์เตอร์สำหรับระบบกังหันลมผลิตไฟฟ้าขนาดกำลังไฟฟ้า 1 kW แรงดัน 48 V ที่ความเร็ว 400 rpm โดยงานวิจัยนี้กำหนดแรงดันด้านเข้า 48 V แรงดันด้านออก 100 V ที่ค่ารัฐลอกแรงดัน 10% ที่ความถี่สิบิ๊ตซ์ 10 KHz เรารสามารถคำนวณหาค่าพารามิเตอร์ต่างของวงจรทบทรับดังได้จากสมการที่ (22) และ (23) ตามล้ำด้าน

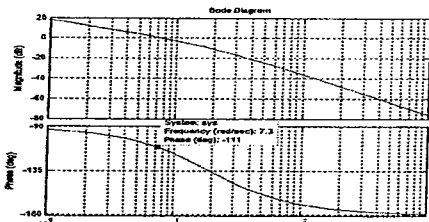
$$L = \frac{D(1-D)^2 R}{2f} \quad (22)$$

$$C = \frac{D}{Rf_s \frac{\Delta v}{v}} \quad (23)$$

แทนค่าลงในสมการที่ (22) และ (23) จะได้ค่าพารามิเตอร์ในการออกแบบคือ $L = 60 \mu F$ $C = 5,200 \mu F$ $R = 10 \Omega$ $D = 0.52$ โดยระบบจะควบคุมด้วยความถี่ความถี่ Ziegler-Nichols โดยการกำหนดค่าพารามิเตอร์จากกราฟผลตอบสนองจะได้ $k_p = 156$ $k_i = 0.5$ และจะได้แผนภาพโนบคังรูปที่ 6

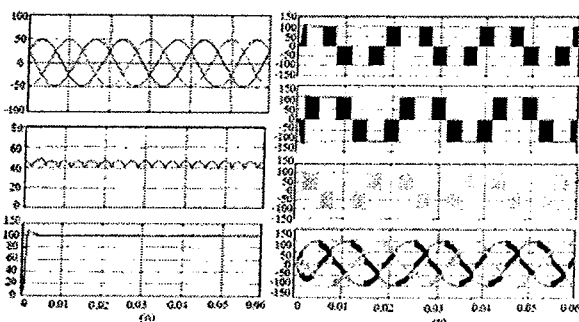


รูปที่ 5 การควบคุมแรงดันของวงจรทบทรับดัน

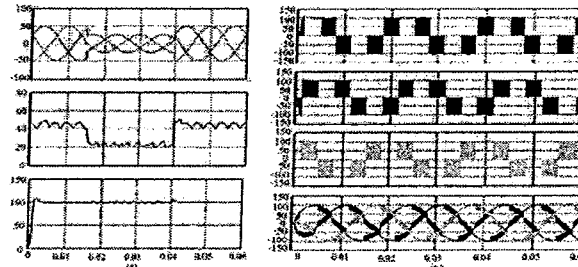


รูปที่ 6 แผนภาพโนบของระบบควบคุมวงจรอนโนบด้วยที่ได้ทำออกแบบ

4. พลการจำลอง



รูปที่ 7 สัญญาณต่างๆ ของกรณีที่ 1 (ก) แรงดันด้านเข้าของวงจรเรียงกระแส แรงดันด้านออกของวงจรเรียงกระแส และแรงดันด้านออกของวงจรทบทรับดัน ตามล้ำด้าน (ข) แรงดันด้านออกของวงจรอินเวอร์เตอร์ สามเฟส



รูปที่ 8 สัญญาณต่างๆ ของกรณีที่ 2 (ก) แรงดันด้านเข้าของวงจรเรียงกระแส แรงดันด้านออกของวงจรเรียงกระแส และแรงดันด้านออกของวงจรทบทรับดัน ตามล้ำด้าน (ข) แรงดันด้านออกของวงจรอินเวอร์เตอร์ สามเฟส

5. สรุป

แบบจำลองและผลการจำลองการทำงานของระบบกังหันลมผลิตไฟฟ้าที่วิเคราะห์ในโครงงานวิจัยนี้ เป็นระบบที่มีราคาถูก และประสิทธิภาพการทำงานสูง น้ำหนักเบา ระบบที่น้ำหนักจะได้กำลังด้านออกสูงสุดเมื่อเดือดค่า C_p ที่เหมาะสม การควบคุมจะใช้วงจรควบคุมแรงดันไฟฟ้ากระแสตรงให้คงที่ และให้วงจรอินเวอร์เตอร์เปลี่ยนแรงดันให้เป็นแรงดันไฟฟ้าใช้งาน ซึ่งจะเห็นได้ว่าหากแรงดันด้านเข้าของวงจรเรียงกระแสมีการเปลี่ยนแปลงของแรงดัน แล้วมีการรักษาแรงดันตามที่ต้องการ ได้ การทำงานทั้งหมดมีเสีย率ภาพสูงที่ความเร็วลมเปลี่ยนแปลง และสามารถอนิกค่า

6. กิตติกรรมประกาศ

ผู้เขียนขอขอบคุณอาจารย์สันติภพ โภตรະсал ที่เอื้อเพื่อชื่อเสียง และให้กำเนิดวิชา

เอกสารอ้างอิง

- [1] Johnson, G. L. *Wind Energy Systems*. England Cliffs: Prentic-Hall, 2001.
- [2] Mohan, N.; Undeland, T. and Robbins, W. *Power Electronics Converters, Application and Design*. New York: John Wiley & Sons, 2003.
- [3] Schonung, A. and Stemmler, H. "Static Frequency Changer with Sub-harmonics Control in Conjunction with Reversible Variable Speed ac Drives." *BBC Review*, Aug./Sep. 1964.
- [4] Naefaire, H. *Grid Connected Wind Turbines*. London and New York: Elsevier Applied Science, 1988.
- [5] Eltamaly, Ali M. "A New Relation between Firing Angle of Three-phase SCR Converter and Best Reinjection Current Angle." *The 9th International Middle East Power Systems Conference, MEPCON'2003*, Shebin El-Kom, Egypt, Dec. 2003, 793- 798.
- [6] วีระเชษฐ์ ขันเงิน และ วุฒิพล ธรรมเรืองสุ, "อิเล็กทรอนิกส์กำลัง"พิมพ์ครั้งที่ 2, วี.เจ. พรินติ้ง, 2547

